

벗풀의 식물화학적 성분

김기탁 · 문형인 · 이강노^{*} · 지옥표

성균관대학교 약학대학

(Received January 9, 1998)

Phytochemical Constituents of *Sagittaria trifolia*

Ki Tack Kim, Hyung In Moon, Kang Ro Lee^{*} and Ok Pyo Zee

Natural Product Laboratory, College of Pharmacy, Sung Kyun Kwan University, Suwon 440-746, Korea

Abstract—From the methanol extract of the whole part of *Sagittaria trifolia* ergosterol peroxide, icariside D₂, thalictoside and 4-nitrophenyl β-D-glucopyranoside were isolated and their structures were identified by the physico-chemical and spectral data. This is the first report of these compounds from *S. trifolia*.

Keywords □ *Sagittaria trifolia*, Alismataceae, Ergosterol peroxide, Icariside D₂, Thalictoside, 4-Nitrophenyl β-D-glucopyranoside.

벗풀(*Sagittaria trifolia* L.)은 택사과(Alismataceae)에 속하는 多年生 草本으로 논이나 연못에 자라며 국내에 자생하는 *Sagittaria*속 식물로는 올미(*S. pygmaea*), 소귀나물(*S. trifolia var. edulis*) 및 보풀(*S. aginashi*) 등이 있다.¹⁾ 벗풀의 구경은 慈姑리하여 한방에서 봉루대하(崩漏帶下) 및 석림(石淋)등에 사용되어 왔다.²⁾ 본 식물에서는 diterpenes, diterpene glycosides 및 nitro기를 갖는 phenolic glycosides^{3~4)} 등이 분리 보고된 바가 있다. 본 식물에는 식물 성분으로서는 특이한 nitro-phenolic glycosides⁴⁾를 함유하고 있을뿐만 아니라 성분 연구도 거의 수행되지 않았으므로 활성 연구에 선행하여 본 식물에 대한 성분 연구를 수행하였다. 그 결과 벗풀 전초의 MeOH 추출물로부터 1종의 sterol peroxide와 2종의 nitro기를 함유한 phenolic glycosides, 1종의 phenylethanoid glycoside를 분리하여 이들의 이화학적 성상 및 spectral data로부터 그 구조를 확인하였다.

실험 방법

실험재료 – 본 실험에 사용한 벗풀은 1996년 9월 경기도 수원 근교의 습지에서 자생하는 것을 채집하여 감정한 후 사용하였다.

시약 및 기기 – column packing용 silica gel은 silica gel 60 (70~230 mesh and 230~400 mesh, Merck)을 사용하였고, TLC plate는 silica gel 60F₂₅₄ (Merck)을 사용하였다. 발색 시약은 10% H₂SO₄ (in EtOH)을 사용하였으며 UV (254 nm, 365 nm) detection을 병행하였다. 용점 측정은 Gallenkamp melting point apparatus를 사용하였으며 온도보정은 하지 않았다. ¹H-NMR과 ¹³C-NMR은 Bruker AMX-500과 Varian INOVA-500을 사용하였다. IR은 JASCO FT/IR-5300을 사용하였다. EI-MS는 VG70-VSEQ (VG Analytical, UK)를 사용하였고, FAB-MS는 EI-MS와 동일 기종으로 glycerol을 matrix로 하여 사용하였다. LPLC용 column은 Lobar A LiChroprep Si60 (Merck)을 사용하였다.

추출 및 분획 – 반건조 중량 약 2.5 kg의 세절한 전초

* 본 논문에 관한 문의는 이 저자에게로

(전화) 0331-290-7710 (팩스) 0331-290-7745

를 10일간 methanol로 2회 냉침하고, 50°C로 5시간 2회 온침하였다. 추출액을 수육상에서 감압농축하여 methanol extract 215g을 얻었으며, 이를 H₂O에 혼탁시킨후 n-hexane (800 ml×2), methylene chloride (800 ml×2), ethyl acetate (800 ml×2) 및 butanol (800 ml×2)로 분획하였다.

Compound H1의 분리 – n-hexane 분획 (38 g)을 n-hexane : EtOAc (15:1~1:1) 혼합용매로 silica gel column chromatography를 실시하여 3개의 sub-fraction (A-C)으로 분획하였다. 그중 subfraction C를 n-hexane : chloroform : acetone=4:1:1용매로 silica gel column chromatography를 반복실시하여 백색의 고형물질 23 mg을 얻었다.

Compound H1 – mp : 182~184°C, IR $\nu_{\text{max}}^{\text{KBr}}$ cm⁻¹ : 3342, 2955, 1458, 1377, 1045, EI-MS(m/z) : 428 [M]⁺, 410 [M-H₂O]⁺, 396 [M-O₂]⁺, 377 [M-O₂-H₂O]⁺, ¹H-NMR (CDCl₃, 500MHz, ppm) δ : 0.83 (3H, s, H-18) 0.89 (3H, s, H-19), 0.92 (3H, d, J= 6.8Hz, H-28), 1.10 (3H, d, J=6.6Hz, H-21), 3.97 (1H, m, H-3), 5.16 (1H, dd, J=15.2, 8.1Hz, H-22), 5.23 (1H, dd, J=15.2, 7.2Hz, H-23), 6.51 (1H, d, J= 8.5Hz, H-6), 6.25 (1H, d, J=8.5Hz, H-7), ¹³C-NMR (CDCl₃, 125MHz, ppm) δ : 12.98 (C-18), 17.55 (C-28), 18.16 (C-19), 19.63 (C-26), 19.93 (C-27), 20.62 (C-15), 20.88 (C-21), 23.41 (C-11), 28.62 (C-16), 30.16 (C-2), 33.07 (C-25), 34.72 (C-1), 36.12 (C-4), 36.97 (C-10), 39.37 (C-12), 39.69 (C-20), 42.78 (C-24), 44.57 (C-13), 51.14 (C-9), 51.71 (C-14), 56.25 (C-17), 66.47 (C-3), 79.41 (C-8), 82.14 (C-5), 130.76 (C-7), 132.34 (C-23), 135.20 (C-22), 135.41 (C-6)

Compounds B1, B2 및 B3의 분리 – BuOH 분획 (18 g)을 THF : MeOH : H₂O (10:5:1~2:3:1) 용매로 silica gel column chromatography를 실시하여 3개의 subfraction (A-C)으로 분획하였다. Subfraction A (2 g)를 EtOAc : MeOH=10:3 및 CH₂Cl₂ : EtOAc : MeOH=1:10:2로 silica gel column chromatography를 반복실시하여 백색의 고형물질 38 mg을 얻었다 (compound B1). Subfraction B (4 g)를 CH₂Cl₂ : MeOH : H₂O=15:4:1로 silica gel column chromatography를 실시하여 무색의 점액상 물질 20 mg을 얻었다 (compound B2). Subfraction

C (1 g)를 CHCl₃ : EtOAc : MeOH : H₂O=1:10:4:1로 silica gel column chromatography를 무색의 반고형상 물질 8 mg을 얻었다 (compound B3).

Compound B1 – IR $\nu_{\text{max}}^{\text{KBr}}$ cm⁻¹ : 3397, 2930, 1458, 1234, 1089, 1045, FAB-MS (m/z) : 301 [M+H]⁺(2), 323 [M+Na]⁺(3), 207(6), 167(9), 115(14), 75(28), 57(19), ¹H-NMR (CD₃OD, 500MHz, ppm) δ : 7.14 (2H, d, H-3,5), 7.04 (2H, d, H-2,6), 3.40~3.90 (8H, m, glucose and H-β) 2.77 (2H, t, J=6.5Hz, H-α), ¹³C-NMR (CD₃OD, 125MHz, ppm) δ : 38.72 (C-α), 61.82 (C-6'), 63.69 (C-β), 70.68 (C-4'), 74.23 (C-2'), 77.28 (C-5'), 77.39 (C-3'), 101.80 (C-1'), 117.69 (C-2,6), 130.18 (C-3,5), 133.54 (C-4), 156.93 (C-1)

Compound B2 – IR $\nu_{\text{max}}^{\text{KBr}}$ cm⁻¹ : 3375, 1520, 1167, 1047, ¹H-NMR (pyridine-d₅, 500MHz, ppm) δ : 7.32 (2H, d, J=9Hz, H-3,5), 7.25 (2H, d, J=9Hz, H-2,6), 5.59 (1H, d, J=7.5Hz, H-1'), 4.02~4.54 (8H, m, glucose and H-β) 2.95 (2H, t, J=6.9 Hz, H-α), ¹³C-NMR (pyridine-d₅, 125MHz, ppm) δ : 41.12 (C-α), 63.80 (C-6'), 72.81 (C-4'), 75.59 (C-β), 76.52 (C-2'), 80.01 (C-5'), 80.36 (C-3'), 103.89 (C-1'), 118.39 (C-2,6), 132.03 (C-3,5), 135.32 (C-1), 158.64 (C-4)

Compound B3 – IR $\nu_{\text{max}}^{\text{KBr}}$ cm⁻¹ : 3385, 2922, 1543, 1390, ¹H-NMR (CD₃OD, 500MHz, ppm) δ : 7.97 (2H, d, J=8.5Hz, H-3,5), 7.18 (2H, d, J=8.5Hz, H-2,6), 5.08 (1H, d, J=7.5Hz, H-1') 3.41~3.92 (6H, m, glucose), ¹³C-NMR (CD₃OD, 125MHz, ppm) δ : 62.73 (C-6'), 70.58 (C-4'), 74.14 (C-2'), 77.23 (C-5'), 77.52 (C-3'), 101.02 (C-1'), 116.21 (C-2,6), 131.77 (C-3,5), 141.12 (C-4), 161.49 (C-1)

Compound B1의 acid hydrolysis.⁵⁾ – compound B1을 TLC에 점적하여 c-HCl chamber에 24시간 방치하여 가수분해 시킨후 β-D-glucose, α-D-glucose, D-galactose 표준품과 혼합 TLC를 행하여 chloroform : methanol : water=9:3:1로 전개시킨 후 aniline phthalate시약으로 발색시켰다.

결과 및 고찰

Compound H1은 백색분말로 10% H₂SO₄에서 선

홍색으로 발색되었다. 분자이온(M^+) peak가 m/z 428에서 나타난 EI-MS data와 ^{13}C -NMR data로부터 분자식이 $\text{C}_{28}\text{H}_{44}\text{O}_3$ 임을 추정하였다. ^1H -NMR spectrum에서 δ 0.83 (3H, s, H-18) 및 δ 0.89 (3H, s, H-19)에 2개의 singlet methyl signal이 나타났고, δ 0.92 (3H, d, $J=6.8\text{Hz}$, H-28) 및 δ 1.10 (3H, d, 6.6Hz , H-21)에서 2개의 doublet methyl signal이 나타났다. δ 5.16 (1H, dd, $J=15.2, 8.1\text{Hz}$, H-22) 및 δ 5.23 (1H, dd, $J=15.2, 7.5\text{Hz}$, H-23)에서 서로 coupling하는 2개의 olefinic proton signal이, δ 6.51 (1H, d, $J=8.5\text{Hz}$, H-6) 및 δ 6.25 ppm (1H, d, $J=8.5\text{Hz}$, H-7)에서 서로 coupling하는 2개의 olefinic proton signal을 각각 관찰할 수 있었다. 또한 δ 3.97 (1H, m, H-3)은 OH기가 붙은 탄소의 (carbinol) proton signal로 추정되었다. ^{13}C -NMR spectrum에서 28개의 carbon peak가 관찰되었으며, 이중 olefin 영역에서 δ 130.76, 132.34, 135.20, 135.41 등 4개의 peak가 나타났다. δ 66.5에서 OH가 붙은 carbinol peak 와 δ 82.14 및 79.41에서 oxygen과 결합한 carbon peak를 관찰할 수 있었다. EI-MS spectrum에서 m/z 396 ($M-\text{O}_2$) peak 와 ^{13}C -NMR spectrum에서 δ 82.14 및 79.41 peak를 보아 peroxide ring을 형성한 것으로 추정하여 peroxide발색 시약⁶⁾을 이용하여 밝색한 결과 양성으로 나타나 peroxide임을 확인하였다. 이상의 결과와 기존 문헌⁷⁻⁹⁾을 비교하여 compound H1은 ergosterol peroxide로 확정하였다.

Compound B1은 백색분말로 10% H_2SO_4 에 흑갈색으로 발색되었다. FAB mass spectrum에서 $[\text{M}+\text{H}]^+$ 이 301로, $[\text{M}+\text{Na}]^+$ 이 323으로 나타났으며, ^1H -NMR, ^{13}C -NMR 및 DEPT spectra로부터 분자식이 $\text{C}_{14}\text{H}_{20}\text{O}_7$ 임을 추정하였다. ^1H -NMR spectrum에서 δ 7.15 (2H, d, $J=8.5\text{Hz}$) 및 δ 7.03 (2H, d, $J=8.5\text{Hz}$) signal로부터 aromatic환의 para위치에 치환기가 도입되었음을 추정하였다. δ 4.87 (1H, d) signal은 당의 anomeric proton으로 추측되었고, δ 2.77 (2H, t, $J=6.5\text{Hz}$) peak는 aromatic 환에 결합한 methylene signal로 추측할 수 있었다. ^{13}C -NMR과 DEPT spectra에서 δ 156.93 (C), δ 133.54 (C), δ 130.18 (CH), δ 117.69 (CH)은 aromatic carbon signal로 추정되었고, δ 101.80 (CH) signal은 당의 anomeric carbon으로 생각되었다. Aromatic ring에 결합한 당의 조성을 확인하기 위하여 당의 가수분해 실험을 실시

하여 표준당과 혼합 TLC를 실시한 결과 β -D-glucose임을 확인하였다. 이상의 결과와 기존문헌^{10,11)}의 자료를 비교한 결과 이 물질은 icariside D₂로 추정하였으며, 이를 자료와 문헌^{10,11)}의 자료가 완전히 일치하여 이물질은 icariside D₂로 결정하였다.

Compound B2는 투명한 무정형 물질로 10% H_2SO_4 에 흑갈색으로 발색되었다. IR spectrum에서 3375 cm^{-1} 의 OH band 및 1520 cm^{-1} 의 asymmetric NO_2 band를 확인하였다. ^1H -NMR spectrum에서 δ 7.32 (2H, d, $J=8.5\text{Hz}$) 및 7.25 (2H, d, $J=8.5\text{Hz}$) signal로부터 aromatic환의 para위치로 치환기가 도입되었음을 알 수 있었다. δ 4.87 (1H, d) signal은 당의 anomeric proton으로 추정되었고, δ 2.80 (2H, t, $J=6.5\text{Hz}$)은 aromatic ring에 결합한 methylene signal로 추정할 수 있었다. ^{13}C -NMR spectrum에서 compound B1과 유사한 양상의 12개의 carbon peak를 관찰할 수 있었다. 그러나 compound B1과는 다르게 63.69에서 peak가 나타나지 않고 δ 73.18에서 peak가 나타난 것으로 보아 compound B1의 hydroxyl기가 nitro기로 치환되었음을 추정하였다. 이상의 결과와 기존의 문헌¹²⁾을 비교하여 compound B2는 thalictoside로 확정하였다.

Compound B3는 백색 분말로 10% H_2SO_4 에 의해 흑갈색으로 밝색되었다. FAB mass spectrum에서 $[\text{M}+\text{H}]^+$ 이 302로 나타났으며, IR spectrum에서 3385 cm^{-1} 의 OH band, 1543 cm^{-1} 의 asymmetric NO_2 및 1390 cm^{-1} 의 symmetric NO_2 band를 확인할 수 있었다. ^1H -NMR spectrum에서 δ 7.96 및 7.12 signal로부터 aromatic환의 para위치로 치환되어 있

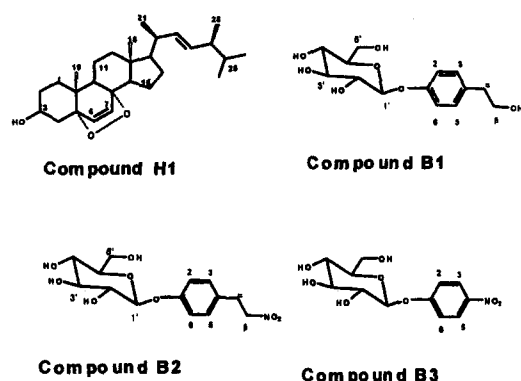


Fig. 1 — Structures of compounds isolated from sagittaria trifolia.

음을 추측할 수 있었다. δ 5.01 (1H, d, $J=7.5\text{Hz}$) signal은 당의 anomeric proton signal로 추정되었다. $^{13}\text{C-NMR}$ spectrum에서 δ 161.50, 116.21, 141.12 및 133.50은 aromatic carbon peak로 추정되었고, δ 101.02에서는 당의 anomeric carbon이 관찰되었다. 이상의 결과와 기존문헌¹³⁾의 data를 비교하여 compound B3를 4-nitrophenyl β -D-glucopyranose로 확정하였다.

결 론

벗풀(*Sagittaria trifolia* L.)은 택사과(Alismataceae)에 속하는 다년생 초본으로 한방에서 봉루대하 및 석립등에 사용하여 왔다. 국내에 자원적으로 매우 풍부 하지만 화학적 성분연구 및 생리활성 연구가 미약하여 본 식물의 활성연구에 선행하여 식물화학적 성분연구에着手하였다. 벗풀 전초의 MeOH추출물을 column chromatography를 반복 실시하여 4종의 화합물을 단리하였고 이화학적 성상 및 spectral data를 기초로 compound H1은 ergosterol peroxide, compound B1은 icariside D₂, compound B2는 thalictoside 그리고 compound B3는 4-nitrophenyl β -D-glucopyranose로 그 구조를 확인 동정 하였으며, 이 4종의 화합물은 모두 이 식물에서 최초로 분리 보고되는 화합물들이다.

문 헌

- 1) 이창복 : 대한 식물도감, 향문사, 서울, p.76 (1989).
- 2) 동국대학교 한의과대학 본초학회 번역: 중국본초도감 (제2권), 여강출판사, 서울, p. 301 (1994).
- 3) Yamazawa, K., Kato, K. and Yamaguchi, R. : Bitter principle of tubers of *Sagittaria trifolia*. *Agric. Biol. Chem.* **50**, 3179 (1986).
- 4) Yoshikawa, M., Yamaguci, S., Murakami, T., Matsuda, H., Yamahara, J. and Murakami N. :

Absolute stereostructures of trifoliones A, B, C, D, new biologically active diterpene from the tuber of *Sagittaria trifolia* L. *Chem. Pharm. Bull.* **41**, 1677 (1993).

- 5) 우원식 : 천연물화학 연구법, 서울대학교 출판부, 서울, p. 182 (1996).
- 6) 이강노 : 천연물 연구에서의 peroxide 성분. 생약학회지 **22**, 145 (1991).
- 7) Gunatilaka, A. M., Gopichand, Y., Schmitz, F. J. and Djerassi, C. : Minor and trace sterol in marine invertebrates. 26. Isolation and structure elucidation of nine new 5 α , 8 α -epidioxy sterols from four marine organism. *J. Org. Chem.* **46**, 3960 (1981).
- 8) 신동인, 김진웅 : 수오공의 화학성분. 약학회지 **38**, 770 (1996).
- 9) Kim, D. S., Baek, N. I., Oh, S. R., Jung, K. U., Lee, I. S., Kim, J. H. and Lee, H. K. : Anticomplementary activity of ergosterol peroxide from *Naematoloma fasciculare* and rearrangement of NMR data. *Arch. pharm. Res.* **20**, 201 (1997).
- 10) Miyase, T., Ueno, A., Takizawa, N., Kovayashi, H. and Oguchi, H. : Onone and lignan glycosides from *Epimedium diphyllum*. *Phytochemistry* **28**, 3483 (1989).
- 11) Lalonde, R. T., Wong, C. and Tsai, A. I. : Polyglucosidic metabolites of oleaceae. The Chain sequence of oleoside aglucon, tyrisol, and glucose units in three metabolites from *Fraxinus americana*. *J. Am. Chem. Soc.* **98**, 3007 (1976).
- 12) Hirosi, I. and Hideo, I. : Isolation of thalictoside. *Chem. Pharm. Bull.* **34**, 726 (1986).
- 13) Knops, M., Schuphan, I. and Schmidt, B. : Biotransformation of 4-nitrophenol by fermenter grown cell suspension culture of soybean (*Glycine max*): isolation and identification of conjugates. *Plant Science* **109**, 215 (1995).